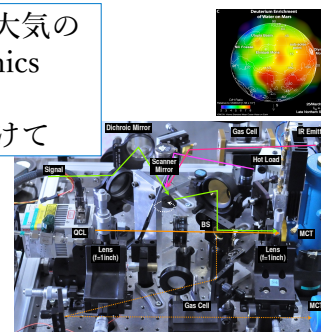


ハレアカラT60と超高分散分光器(MILAHI)による金星・火星観測



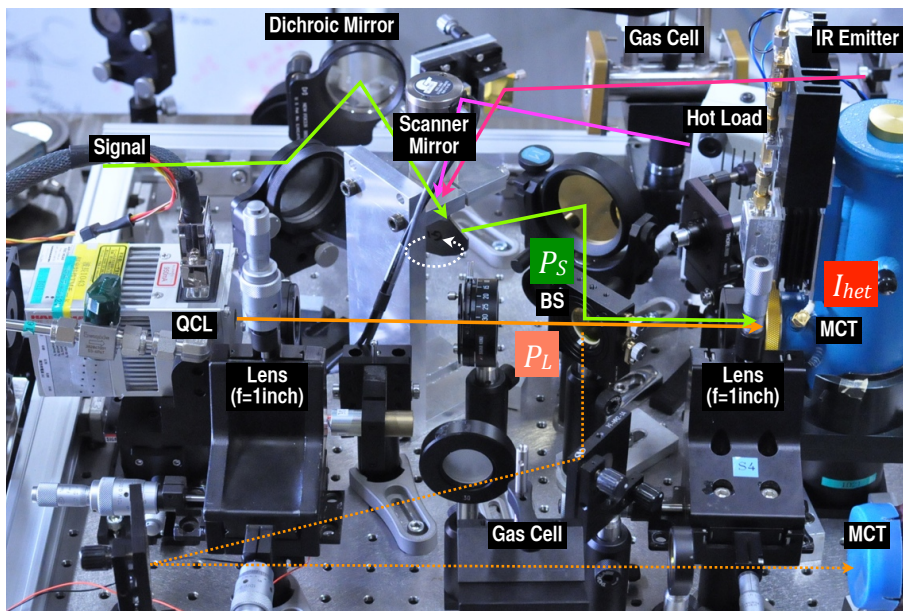
時間変動を伴う惑星大気の
(1) 構造・Dynamics
(2) 微量成分
の短中長期追跡へ向けて



中川広務¹, 笠羽康正¹, 青木翔平^{2,1}, 佐川英夫³, 高見康介¹, 村田功¹, 坂野井健¹,
鍵谷将人¹, 岡野章一¹, G. Sonnabend⁴, M. Sornig⁴, P. Krause⁴, J. Kuhn⁵
1:東北大學, 2:INAF(Italy), 3:京都産業大, 4:Univ. Cologne (Germany), 5:Univ. Hawaii(USA)

地上赤外線観測による太陽系内天体の観測戦略 2016年9月7日

Mid Infrared Laser Heterodyne Instrument: The 1st ver.



装置概要: 赤外ヘテロダイン分光器 MILAHI

Mid
Infrared
LAser
Heterodyne
Instrument

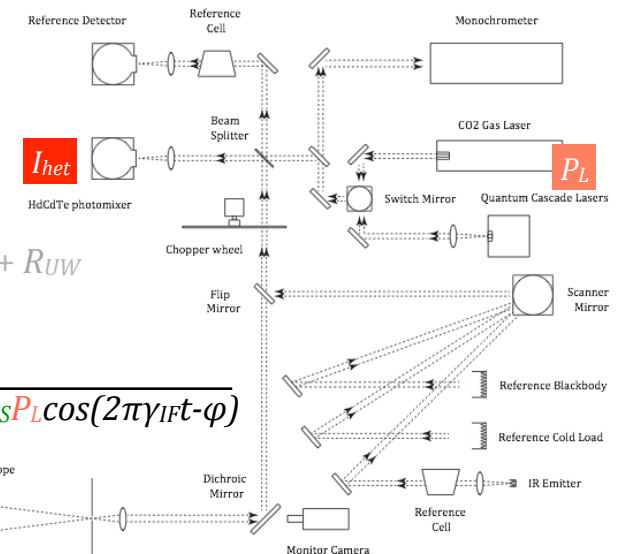


Fig. Optical configuration of MILAHI [Nakagawa16].

目的 高波長分解能(>150万)で

Dynamics e.g. 金星中間圏-熱圏の風速・温度計測

- CO₂輝線プロファイルから 風速・温度を導出
- CO₂吸収プロファイルから 鉛直分布も導出
- ...

Trace Gas e.g. 火星 CH₄, HDO/H₂O, H₂O₂, O₃, CO₂

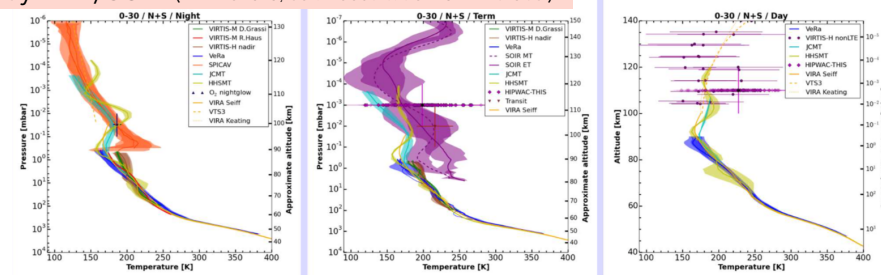
- 地球大気吸収を分離して
背後の「惑星大気の微量成分」を導出

手段

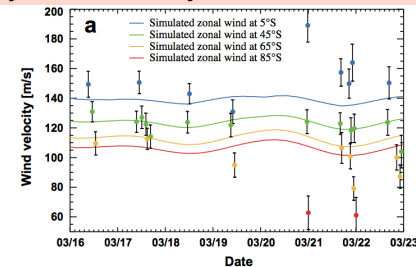
- T60 (ハワイ・ハレアカラ山頂の東北大望遠鏡) で、
独自開発した中間赤外ヘテロダイン分光器を
連続長期間モニタにフル活用

[金星] 超高層大気温度/風速 複雑な時空間変化

by VEX/SOIR (NIR Echelle, solar occultation @ Limb obs.)



by MIR Heterodyne (Kitt Peak)



(Up) Local-time dependence of temperature profiles in the mesosphere-thermosphere on Venus by space-born measurements [Mahieux+15].

(Left) Short-term variations of mesospheric wind on Venus [Nakagawa+13].

[金星] 観測データリトリーバル (高見/佐川) (Data: from NASA/HIPWAC)

Date:
May 20 2012

Location:
IRTF at Mt. Mauna Kea

Observation point:
LT 0h, 67N

Integral time:
96 minutes

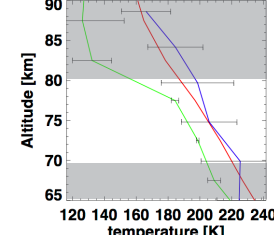
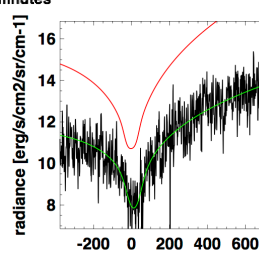
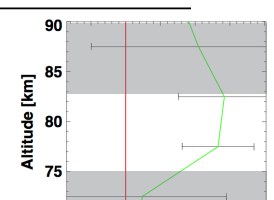
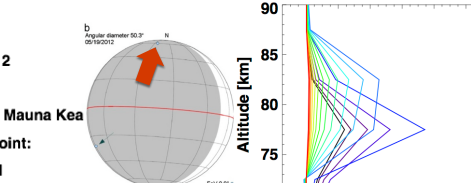


Fig. An example of the wind/temperature retrieval using THIS data. Red:A-priori, Green:Retrieved profiles, Blue:Stangier+15 [Takami et al.]

[金星] MILAHIで得られた観測スペクトル

Wind/Temperature @ ~90km
can be directly obtained from
Doppler shift/ Doppler width of
emission line.

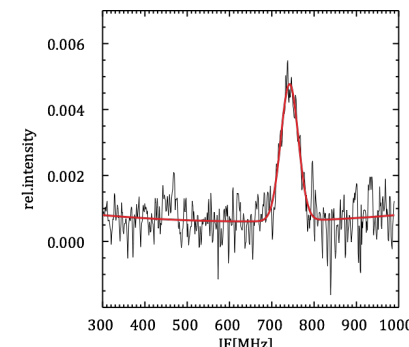


Fig. Example of the Venusian CO₂ non-LTE emission spectrum at 10.5 micron. The red shows the Gaussian curve fit to the data [Nakagawa et al., 2016]. Emission width ~ 0.0012 cm⁻¹.

Wind/Temperature @ 70~80km
can fully be resolved from
absorption line (CO₂ LTE)
with its vertical profile

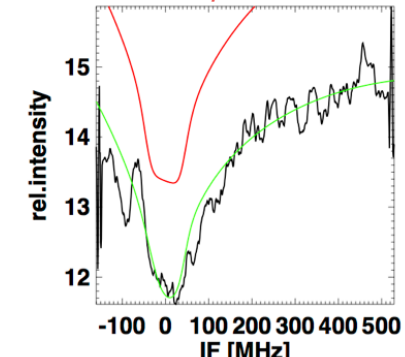
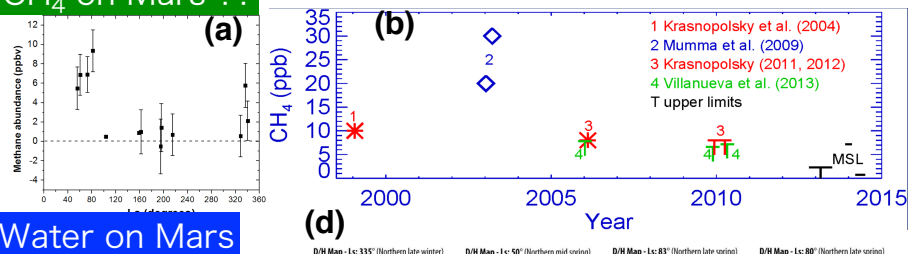
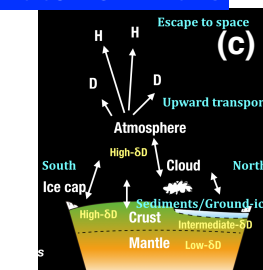


Fig. Example of Venusian CO₂ absorption spectrum at 10.5 micron. The green curve fits to the data in the case of retrieval. The red is a-priori for the retrieval [Takami et al.]

[火星] CH₄, HDO/H₂Oの季節変化～長期変遷 CH₄ on Mars ??



Water on Mars



(a)Seasonal variation of CH₄ [Webster+14].

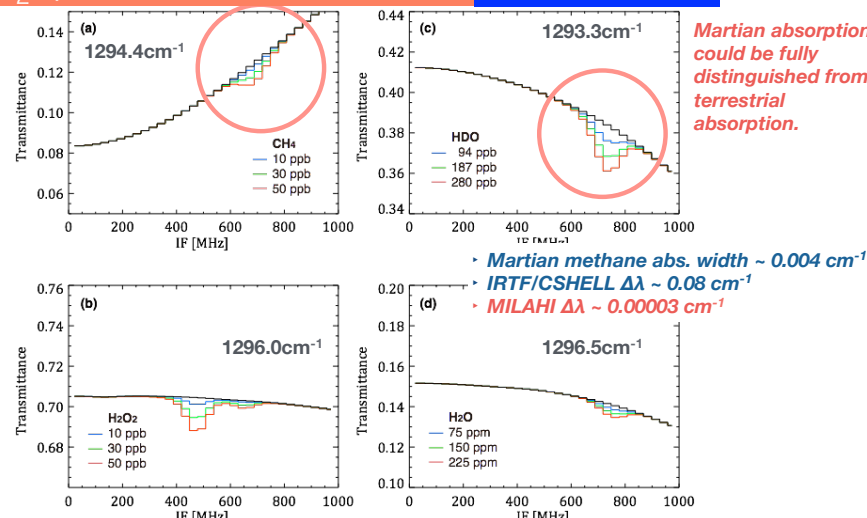
(b) Summary of previous measurements of CH₄ [Krasnopolsky+15].

(c)Water cycle on Mars [Usui+15]

(d) Seasonal change of HDO/H₂O [Villanueva+15].

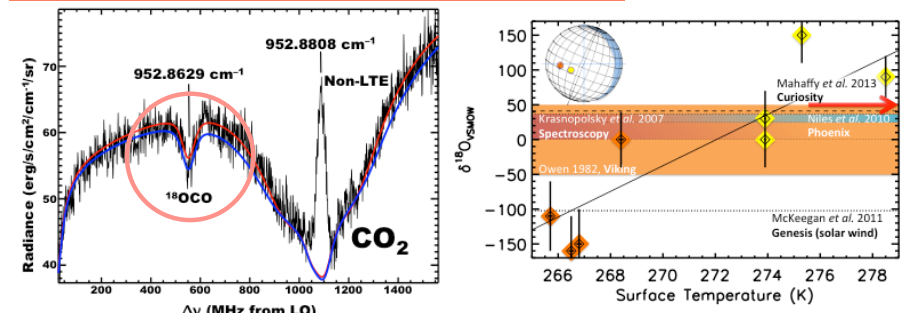
[火星] MILAHIへの期待：スペクトル（青木）

H₂O/HDO ratio – its variations Water on Mars



[火星] MILAHIへの期待: スペクトル (based on the data from NASA/HIPWAC)

CO₂ isotope & its ratio – its variations Another cycle



MILAHI 1号機：装置性能まとめ

Tab. Summary of the sensitivity of IR heterodyne for Mars [Nakagawa et al., 2016].

	Alt. [km]	Ver. res. [km]	Precision (assumed noise or typical integ.time)
T	0-30	10	40-10 K (1.0[ergs/s/cm²/sr/cm⁻¹])
	75	10	3-20 K
Wind	10-25	10	20-30 m/s
	75	10	10 m/s
H ₂ O	-	-	75 ppm (3.62 h)
HDO	-	-	96 ppb (2-SMOW) (15 min)
H ₂ O ₂	-	-	10 ppb (1.3 h)
CH ₄	-	-	10 ppb (32 h)
CO ₂ iso	-	-	100 % for $\delta^{18}\text{O}_{\text{vsSMOW}}$

Tab. Beam size of the IR heterodyne [Nakagawa et al., 2016].

LO	Spectral bands (cm⁻¹)	Beam size(0.6m)	Beam size(1.8m)
1	968-973	4.32"	1.44"
2	1043-1048	4.03"	1.34"
3	1293-1297	3.23"	1.08"

将来展開の1つ：Fiber Optics & Near IR

- ✓ 小型化
- ✓ 光軸設定の簡易化
- ✓ マルチチャンネル化
- ⇒ 衛星・Landerへの搭載も可

IKI, Russia

ExoMars Lander [2020] に搭載予定 (M-DLS: マルチチャンネル)
金星探査機(露)にも近赤外ヘテロダイン分光器搭載予定

高見（東北大M2）がこの開発を行っている機関へ
修行に行く予定（この9-10月）

まとめ：ここ数年の目標

- ・東北大惑星遠鏡T60 + 赤外ヘテロダイン分光器
超高波長分解能(>150万)による
地上からの長期間モニタを可能とする.
- ・Dynamics 金星 Akatsuki (& 火星MAVEN) 連携
中間圏～下部熱圏の風速・温度場を
10-数10m/s(orK)の精度で導出,
地方時依存性や短期～長期変動を明らかに.
- ・Trace Gas 火星 ESA ExoMars (& 金星VEX)連携
HDO/H₂Oを2-VSMOWの精度で,
CH₄を10ppb精度で検出, 季節・長期変遷を明らかに.

* 基盤B - 海外学術（ハワイ） ~2017FY

* 基盤B (火星-MAVEN連携) ~2017FY

* 基盤A or B (金星・火星) 申請予定 (2017-2019FY)

* 日-ペルギー協力 申請 (2017-2018FY)